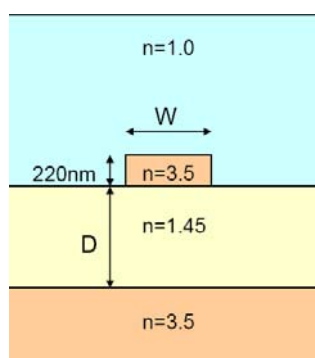


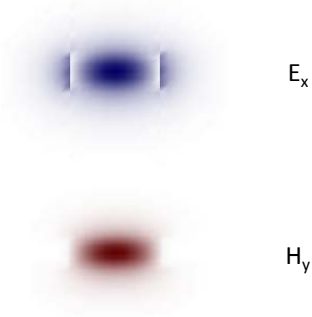
## Vlnovody s velkým kontrastem indexu lomu

### „Fotonický drát“

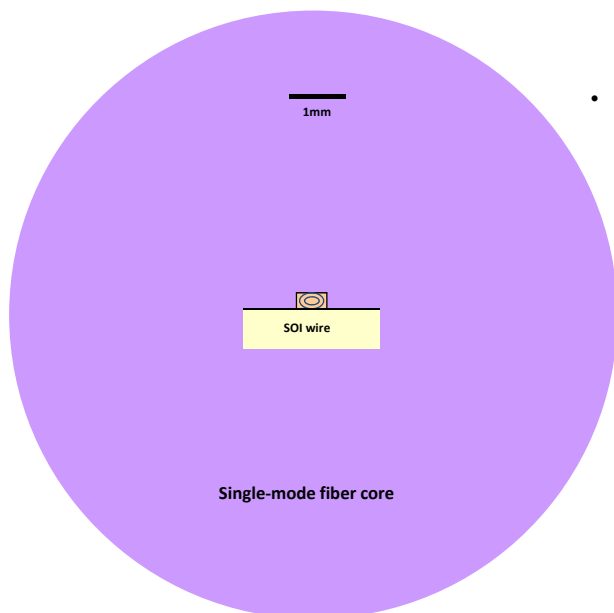
(vlnovod s velkým kontrastem indexu lomu)



Rozložení elektromagnetického pole  
základního vidu  $TE_{00}$

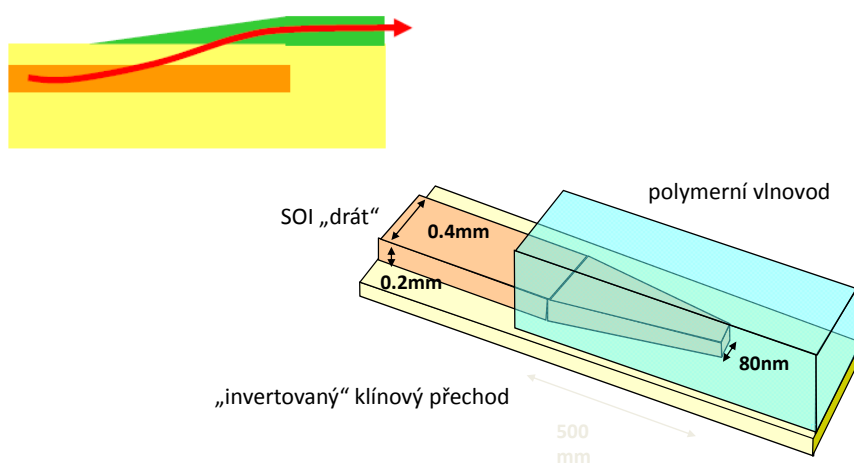


## Vazba do „nanofotonických“ vlnovodů

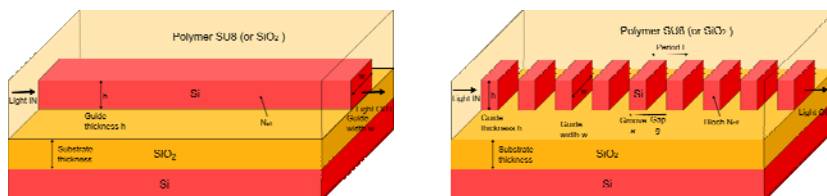


- **Problémy:**
  - Účinná vazba mezi submikrometrovým vlnovodem a vláknem
  - Je nutný konvertor velikosti vidového pole:
    - v horizontální rovině
    - ve vertikální rovině (obtížnější)
  - Polarizační problém

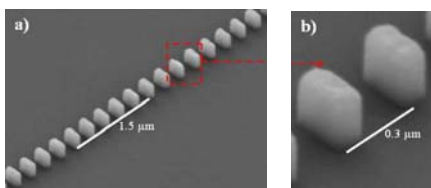
## „Adiabatický přechod“ mezi vlnovody velmi různých profilů / kontrastů



## Křemíkové vlnovody se subvlnovými strukturami (subwavelength grating waveguide, SWG)



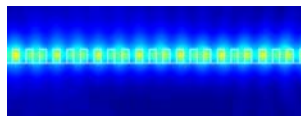
Schematic picture of (a) a strip channel waveguide and (b) SWG waveguide considered in this contribution. In both cases, Si guide (either continuous or segmented) on SiO<sub>2</sub> substrate, embedded in SU8 polymer (or, alternatively in SiO<sub>2</sub> cladding) are considered; h represents the guide thickness, w guide width, L is the SWG period (with Si groove dimension a, and gap g).



Scanning electron microscope (SEM) images of fabricated structures including: a) SWG straight waveguide with  $\Lambda = 300$  nm,  $w = 250$  nm and a duty cycle of 33%. b) Detail of two SWG segments.

P. J. Bock, Optics Express, 18(19), 20251 (2010).

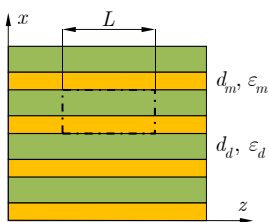
- SWG waveguide - a new type of microphotonic waveguide
- Practical implementations to fiber-chip coupling, waveguide crossing and refractive index engineering



## ELEMENTÁRNÍ TEORIE EFEKTIVNÍHO PROSTŘEDÍ (Effective medium theory, EMT)

Vrstevnaté prostředí s parametry  $\epsilon_1$ ,  $d_1$  a  $\epsilon_2$ ,  $d_2$

$$d_1, d_2 \ll \lambda$$



Ekvivalentní kapacitor s deskami podél x:

$$C_{eq} = \frac{\epsilon_1 d_1}{L} + \frac{\epsilon_2 d_2}{L} = \frac{\epsilon_{||} (d_1 + d_2)}{L}; \quad \epsilon_{||} \dots \text{eff. permittivita}$$

Tedy  $\epsilon_{||} = f\epsilon_1 + (1-f)\epsilon_2, \quad f = \frac{d_1}{d_1 + d_2} = \frac{d_1}{L}$

Ekvivalentní kapacitor s deskami podél z:  $0 \leq f \leq 1.$

$$\frac{1}{C_{eq}} = \frac{d_1}{\epsilon_1 L} + \frac{d_2}{\epsilon_2 L} = \frac{(d_1 + d_2)}{\epsilon_{\perp} L} \quad \epsilon_{\perp} \dots \text{eff. permittivita},$$

Tedy  $\frac{1}{\epsilon_{\perp}} = \frac{1}{\epsilon_1} f + \frac{1}{\epsilon_2} (1-f), \quad \epsilon_{\perp} = \frac{\epsilon_1 \epsilon_2}{f\epsilon_2 + (1-f)\epsilon_1},$

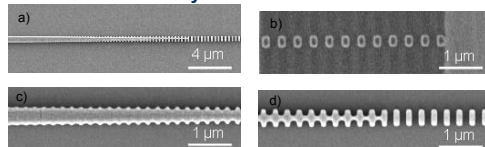
**Efektivní prostředí je anizotropní, jednoosé, s tenzorem permittivity**

$$\epsilon_{eff} = \begin{pmatrix} \epsilon_{\perp} & 0 & 0 \\ 0 & \epsilon_{||} & 0 \\ 0 & 0 & \epsilon_{||} \end{pmatrix}$$

J. C. Maxwell Garnett, "Colours in metal glasses and in metallic films," *Philosophical Transaction of the Royal Society London* **203**, 385-420 (1904).

## Složitější subvlnové vlnodné struktury

### Vazební člen - vidový transformátor

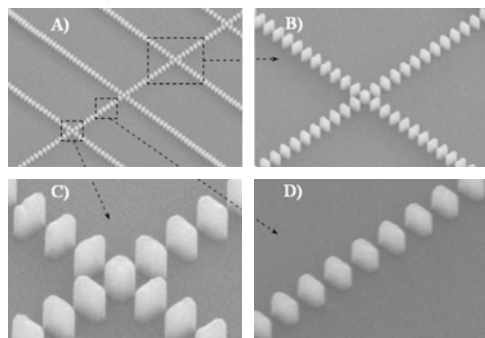


Subwavelength grating mode transformer.

- a) SEM image of the coupler,
- b) low - confinement section near the chip edge,
- c) high-confinement section near the strip waveguide,
- d) Intermediate section.

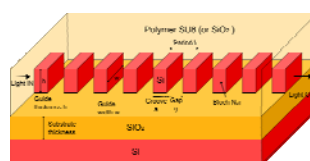
P. J. Bock et al., 7th IEEE Conference on Group IV Photonics, Sept. 2010, Beijing

### Křížení segmentovaných vlnodů



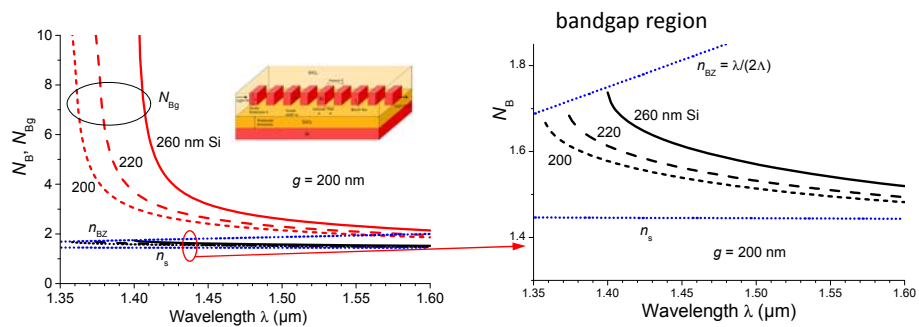
Scanning electron microscope images of SWG crossings:  
 A) multiple SWG crossings,  
 B) one SWG crossing,  
 C) detail of the crossing region with square center segment,  
 D) SWG straight waveguide.

P. J. Bock et al., Optics Express, 18(15), 16146 (2010).



## Disperzní vlastnosti SWG vlnodů

Standard SWGW,  $w = 350$  nm,  $\Lambda = 400$  nm,  $g = 200$  nm, TE polarization

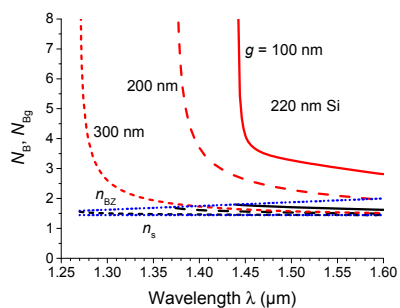


phase and group effective indices  $N_B, N_{Bg}$

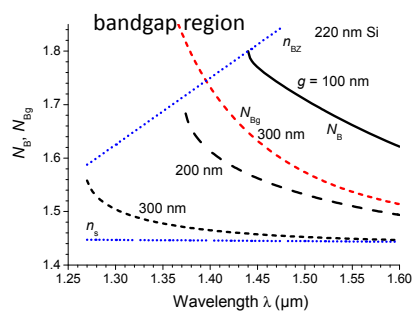
phase effective index  $N_B$

## Disperzní vlastnosti SWG vlnodů

Standard SWGW,  $w = 350$  nm,  $\Lambda = 400$  nm, various gap sizes  $g$ , TE polarization



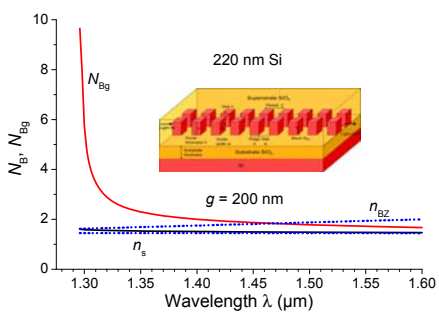
phase and group effective indices  $N_B$ ,  $N_{Bg}$



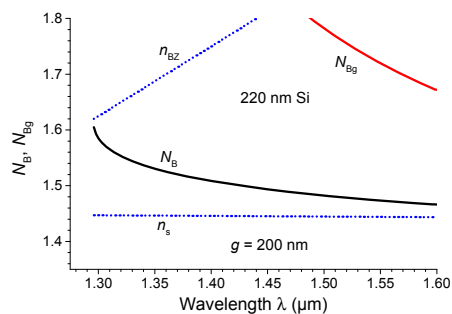
phase effective index  $N_B$

## Disperzní vlastnosti štěrbinového SWG vlnovodu

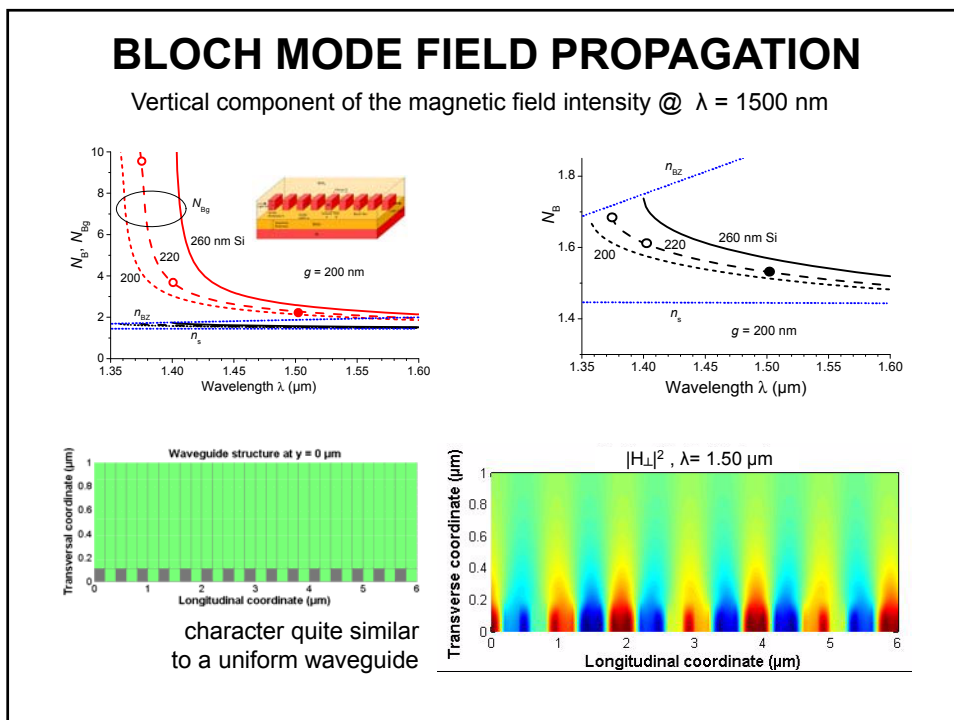
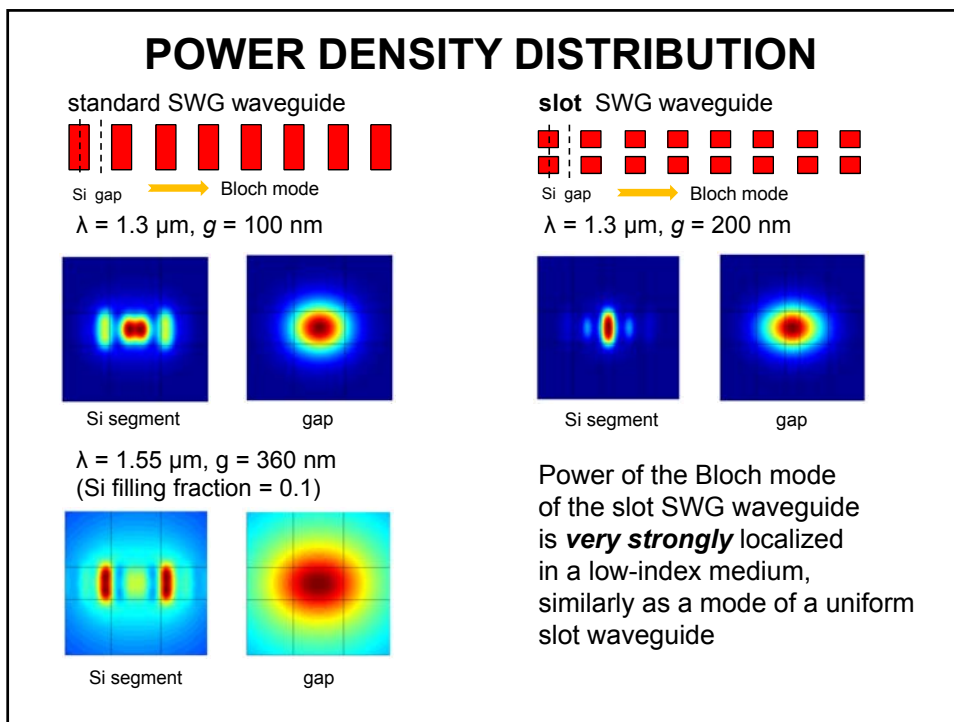
slot SWGW, width  $2 \times 200$  nm + 100 nm slot,  $\Lambda = 400$  nm,  $g = 200$  nm, TE polarization



phase and group effective indices  $N_B$ ,  $N_{Bg}$

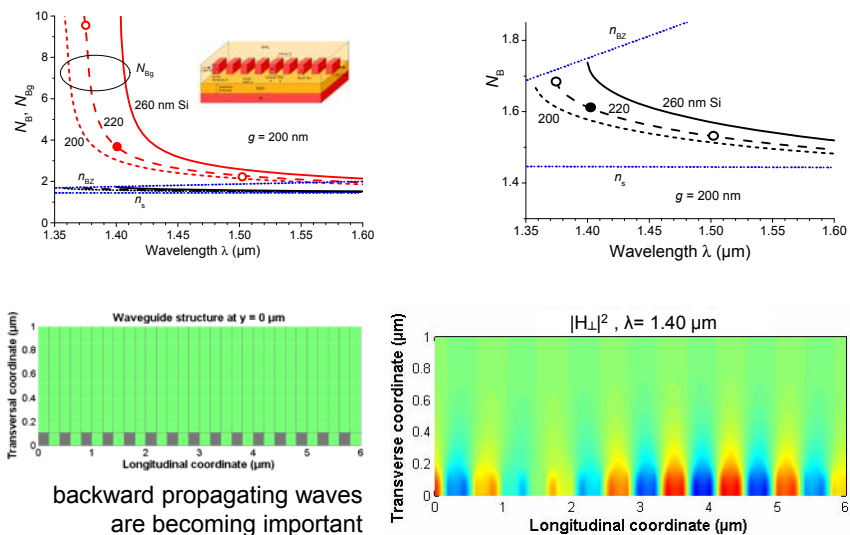


phase effective index  $N_B$



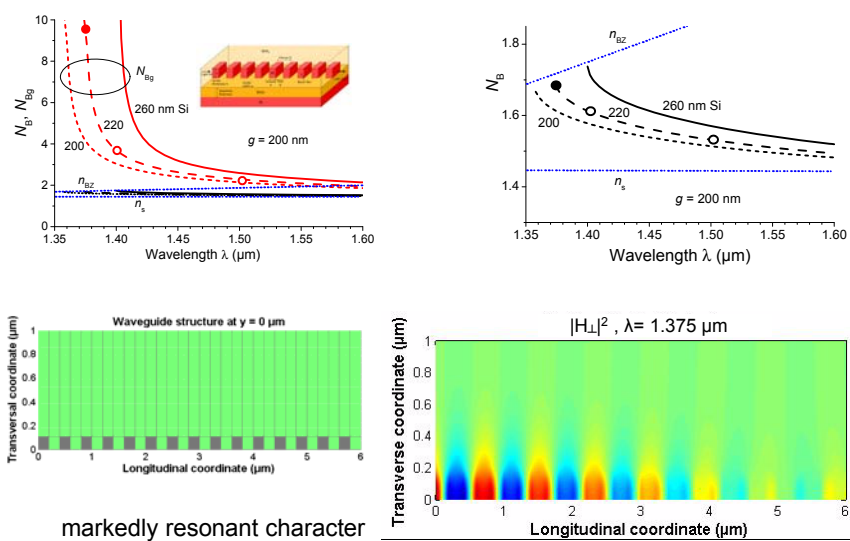
## BLOCH MODE FIELD PROPAGATION

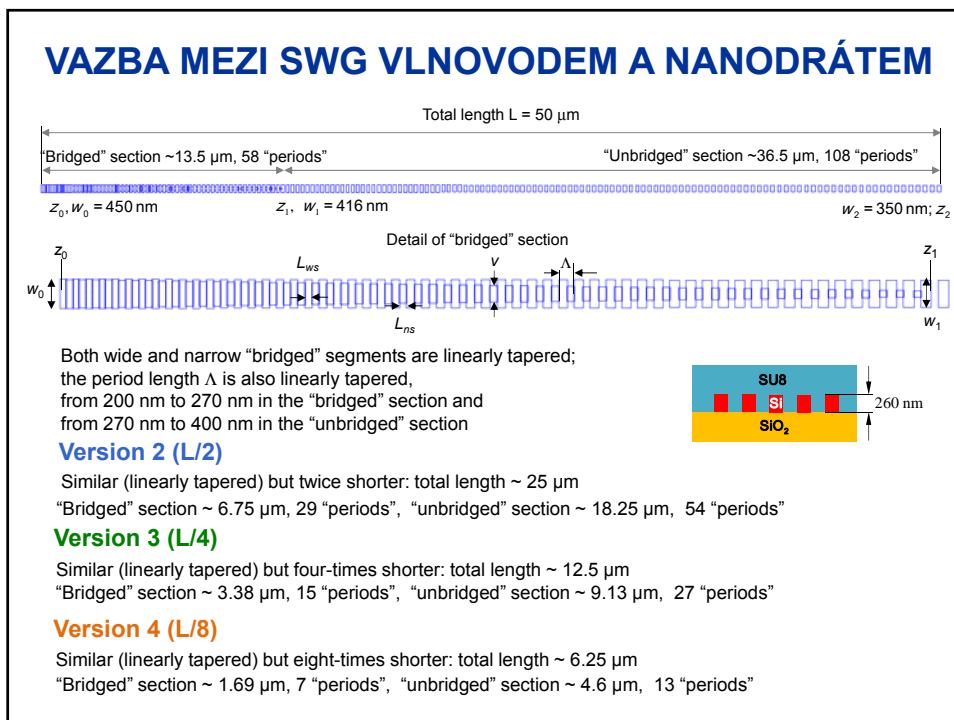
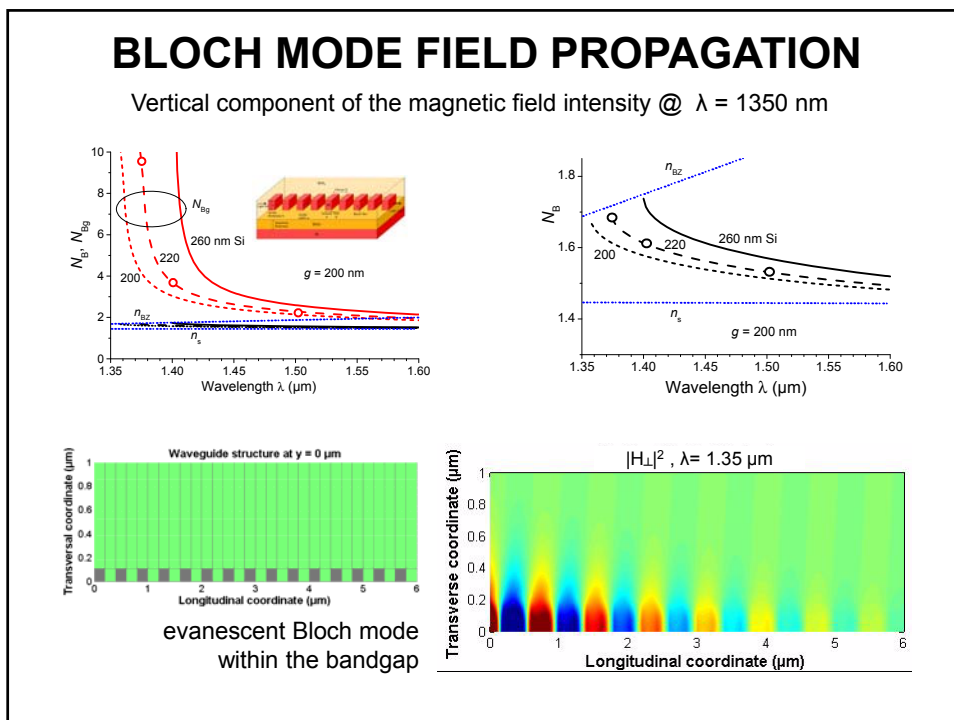
Vertical component of the magnetic field intensity @  $\lambda = 1400$  nm



## BLOCH MODE FIELD PROPAGATION

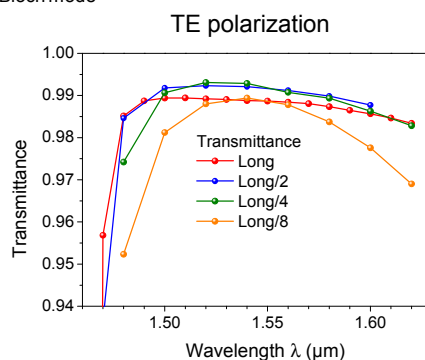
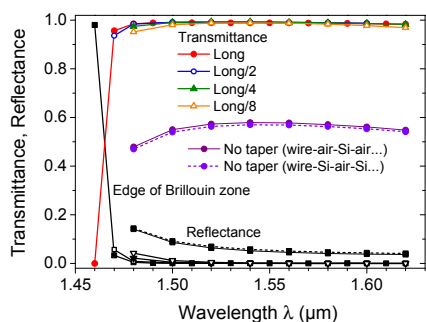
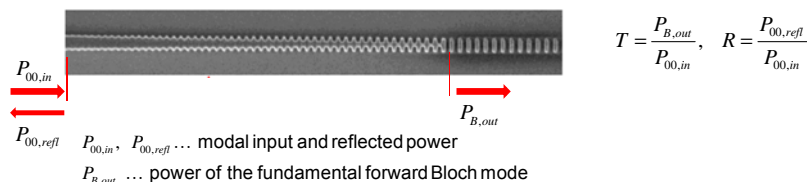
Vertical component of the magnetic field intensity @  $\lambda = 1375$  nm



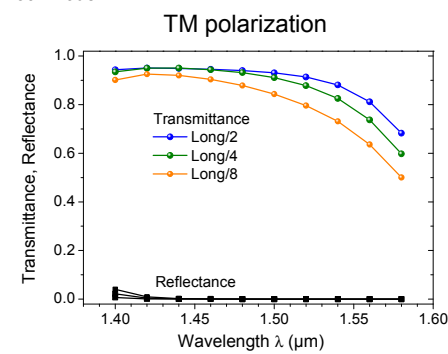
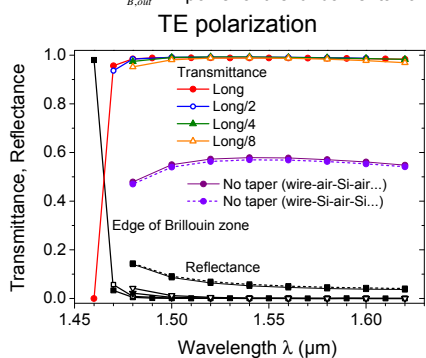
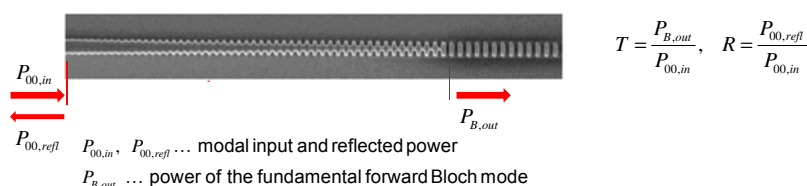


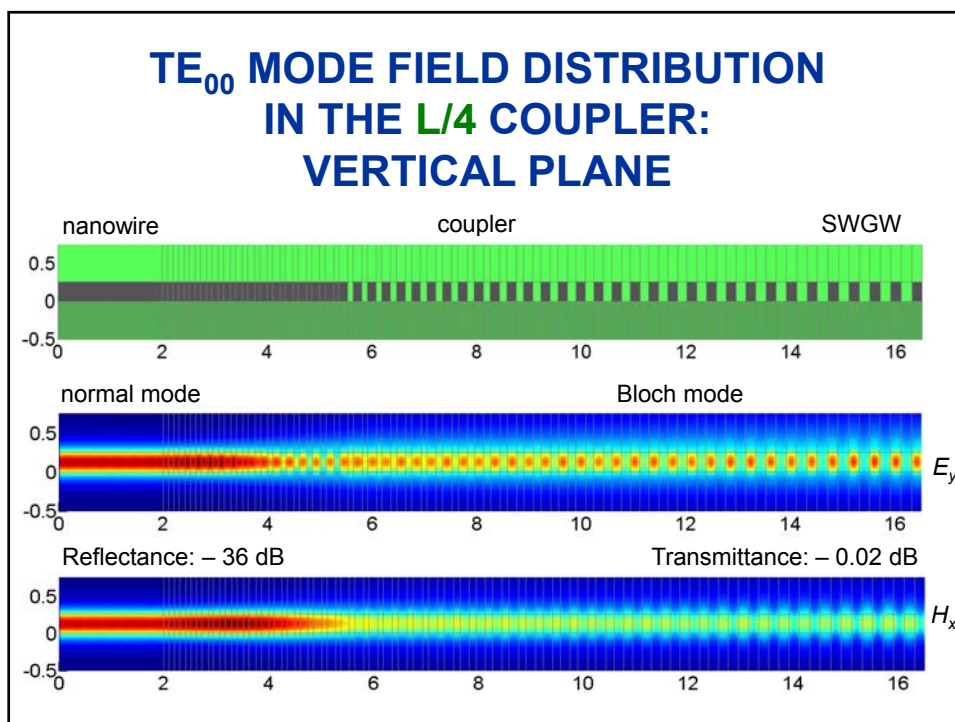
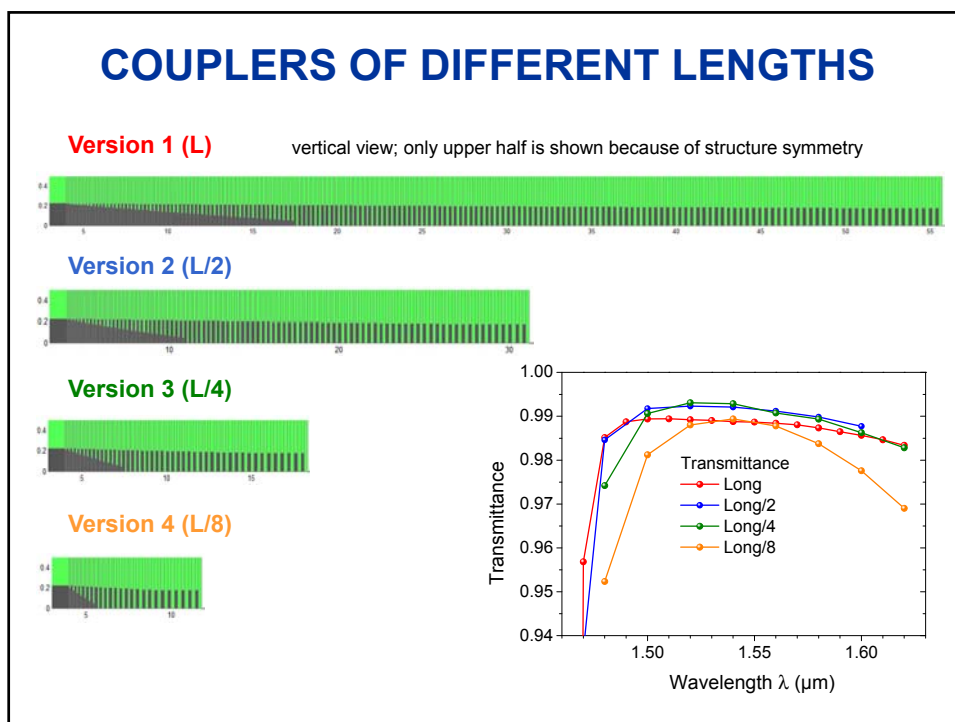


## TRANSMITTANCE AND REFLECTANCE OF THE NANOWIRE TO SWGW COUPLER

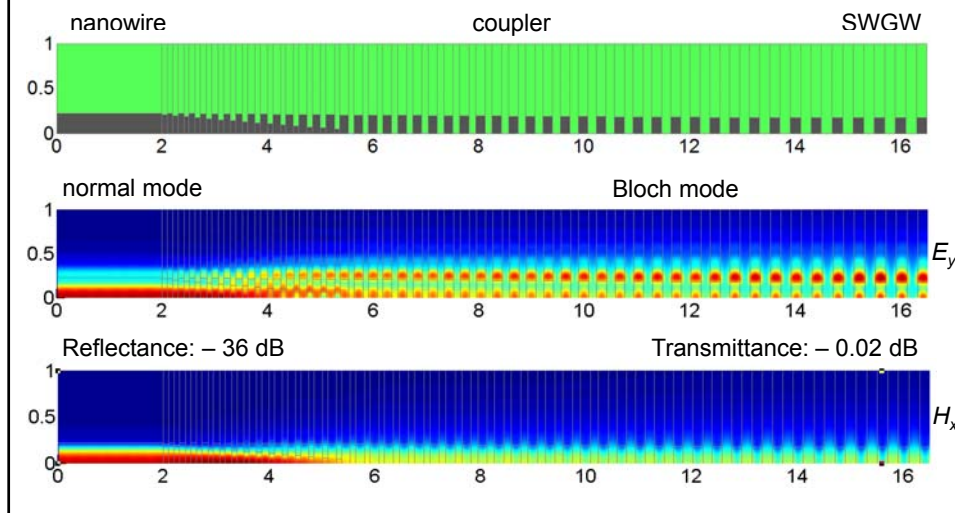


## TRANSMITTANCE AND REFLECTANCE OF THE NANOWIRE TO SWGW COUPLER



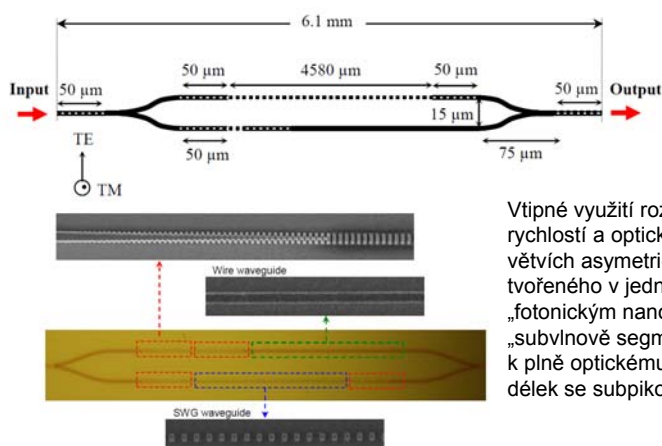


## TE<sub>00</sub> MODE FIELD DISTRIBUTION IN THE L/4 COUPLER: HORIZONTAL PLANE (upper half)



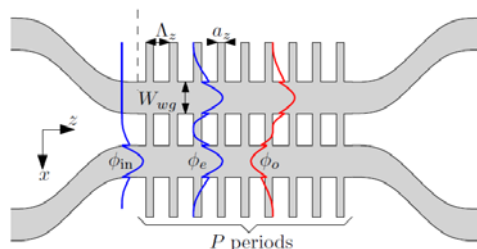
## Aplikace subvlnových segmentovaných vlnodů na optický konvertor vlnových dělek

I. Glesk, P. J. Bock, P. Cheben *et al.*, Optics Express, 19 (15), 14031 (2011).



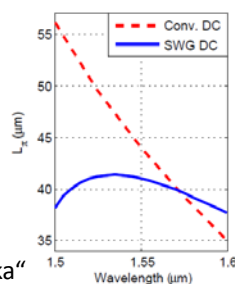
Vtipné využití rozdílu fázových a grupových rychlostí a optické lokalizace v jednotlivých větvích asymetrického MZ interferometru tvořeného v jedné větvi homogenním „fotonickým nanodrátem“ a ve druhé větvi „subvlnově segmentovaným“ vlnoděm k plně optickému spínání a konverzi vlnových dělek se subpikosekundovou rychlostí

## Aplikace subvlnových segmentovaných vlnodů na směrovou odbočnici

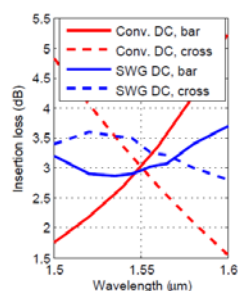


Optimalizace parametrů umožňuje využít větší šířku pásma:

„Vazební délka“

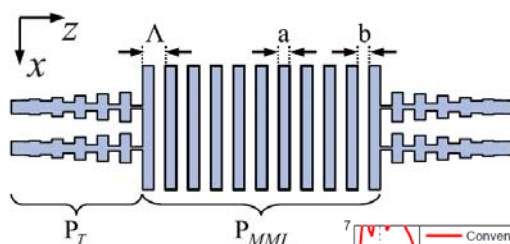


„Vložný útlum“ v obou větvích

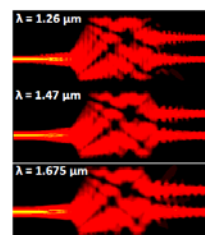
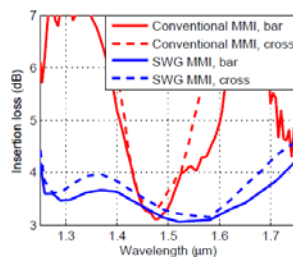


## Aplikace subvlnových segmentovaných vlnodů na vazební člen s mnohovidovou interferencí

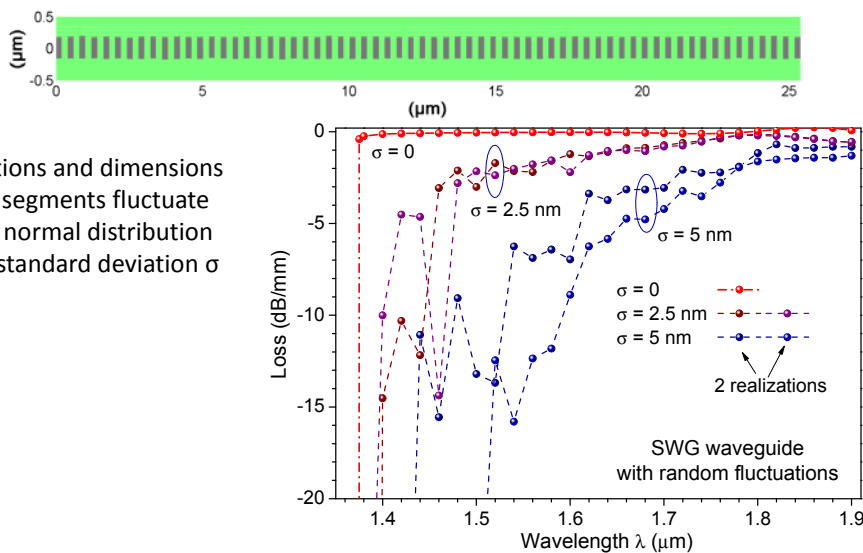
P. Cheben et al., Wavelength-Independent Multimode Interference Coupler, Opt. Express 2012  
NRC, Ottawa, Canada, and University of Malaga, Spain



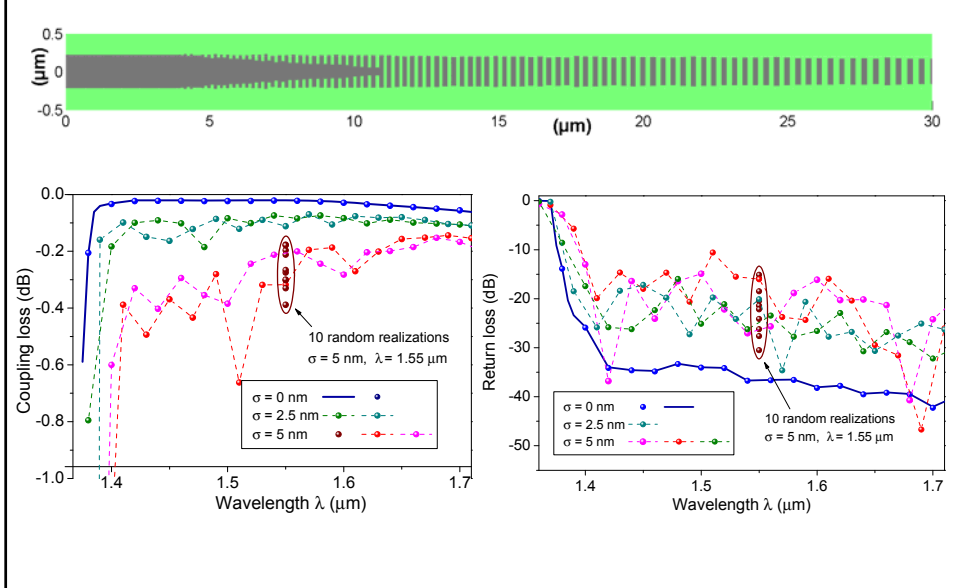
Optimalizace parametrů umožňuje širokopásmové použití



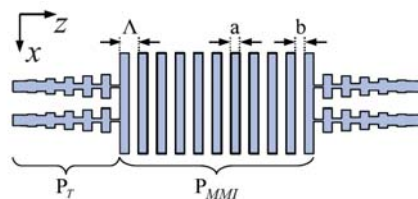
### INFLUENCE OF RANDOM FLUCTUATIONS ON SWGW PERFORMANCE



### INFLUENCE OF RANDOM FLUCTUATIONS ON SWGW COUPLER PERFORMANCE



## BROADBAND SWGW MMI COUPLER

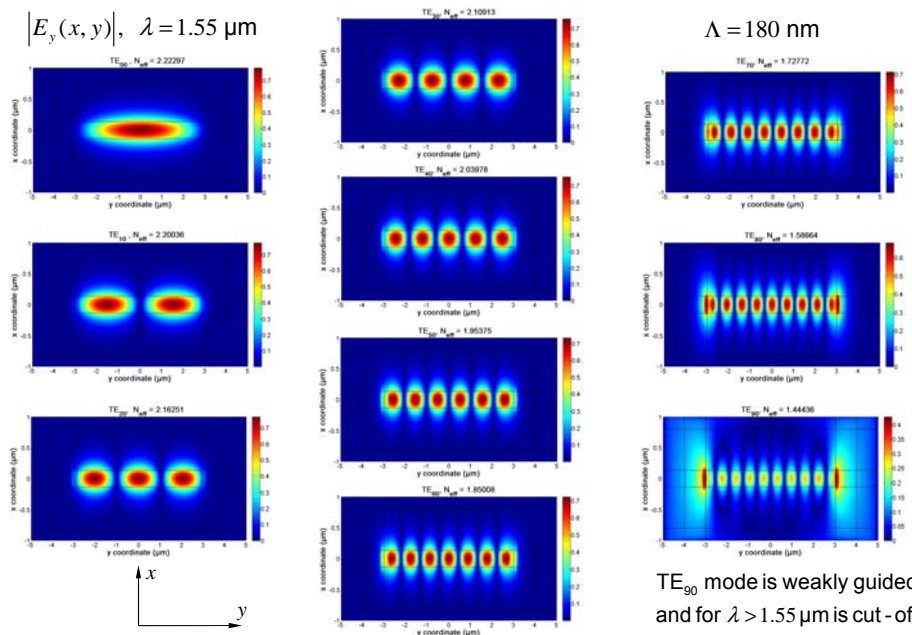


1. Optimization of MMI section for broadband operation
2. Check of imaging properties of the MMI section
3. Verification of taper function
4. Analysis of possible mutual coupling between tapers
5. Field distribution and scattering matrix of the complete coupler

A. Maese-Novo, R. Halir, S. Romero-García, D. Pérez-Galacho, L. Zavargo-Peche, A. Ortega-Moñux, I. Molina-Fernández, J. G. Wangüemert-Pérez, and P. Cheben, *Opt. Express* vol 21, 7033-7040 (2013)

## BLOCH MODES IN THE SWG MULTIMODE REGION

$|E_y(x, y)|$ ,  $\lambda = 1.55 \mu\text{m}$

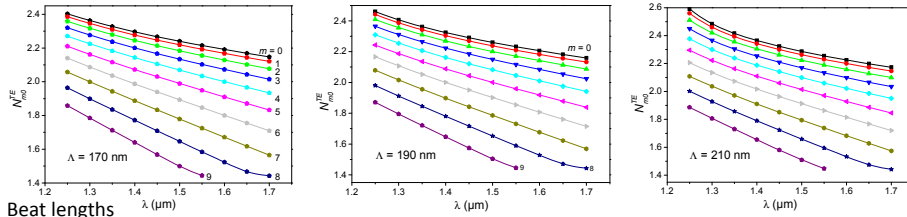


## OPTIMIZATION OF MMI SECTION FOR BROADBAND OPERATION

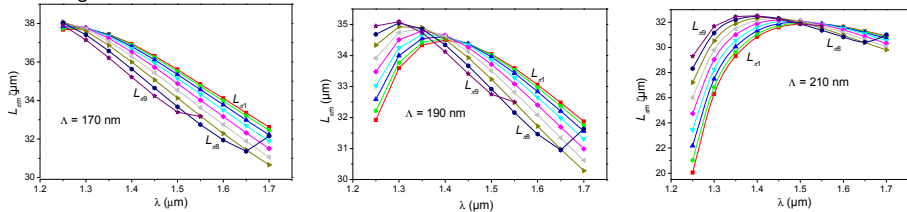
Minimize wavelength dependence of the beat length between several lowest-order lateral Bloch modes by optimization of period length; MMI section width = 6  $\mu\text{m}$

$$\text{"ideal" beat length: } L_{\pi m} = \frac{[(m+1)^2 - 1]\pi}{3(\beta_0 - \beta_m)} = \frac{m(m+2)}{6(N_{00} - N_{0m})}, \quad m = 1, 2, \dots, 8$$

Eff. indices

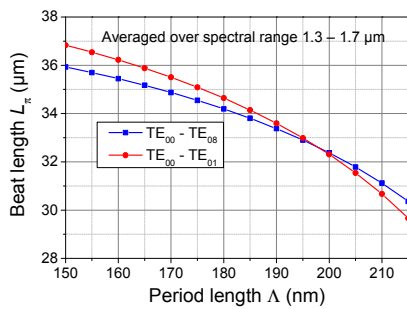


Beat lengths

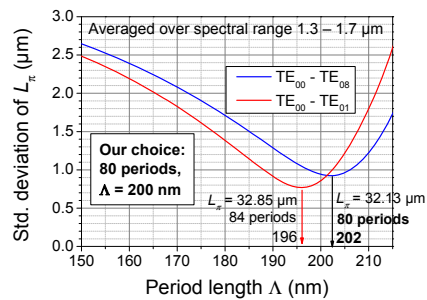


## OPTIMIZATION OF THE MMI SECTION FOR 1.3 – 1.7 $\mu\text{m}$ WAVELENGTH RANGE

Average beat lengths



Standard deviations of the beat lengths



Averaging over wavelengths and modes:

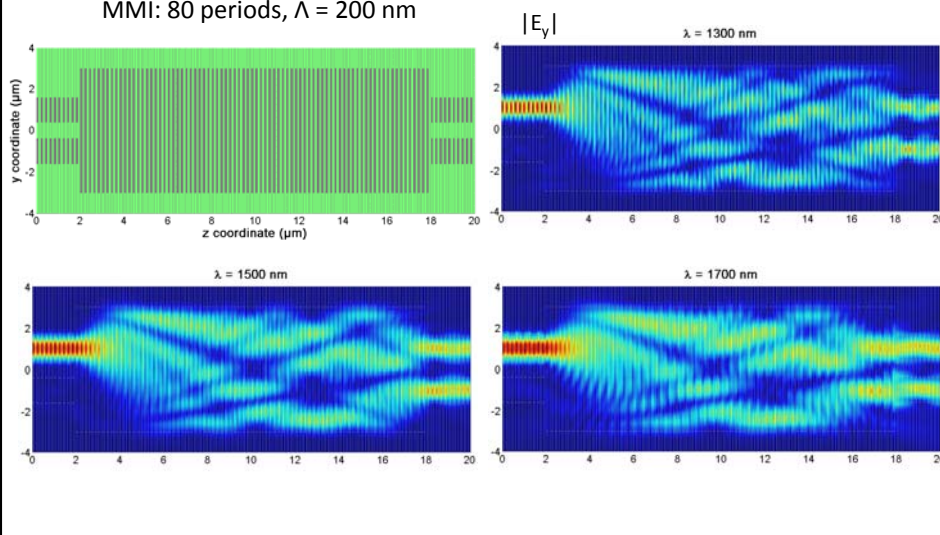
$$\Lambda_{opt}^{0-1} = 196 \text{ nm}, \quad L_{\pi}^{0-1} = 32.85 \text{ } \mu\text{m}, \quad NoP^{0-1} \doteq L_{\pi}^{0-1} / (2\Lambda_{opt}^{0-1}) = 84 \text{ periods},$$

$$\Lambda_{opt}^{0-8} = 202 \text{ nm}, \quad L_{\pi}^{0-8} = 32.13 \text{ } \mu\text{m}, \quad NoP^{0-8} \doteq L_{\pi}^{0-8} / (2\Lambda_{opt}^{0-8}) = 80 \text{ periods}.$$

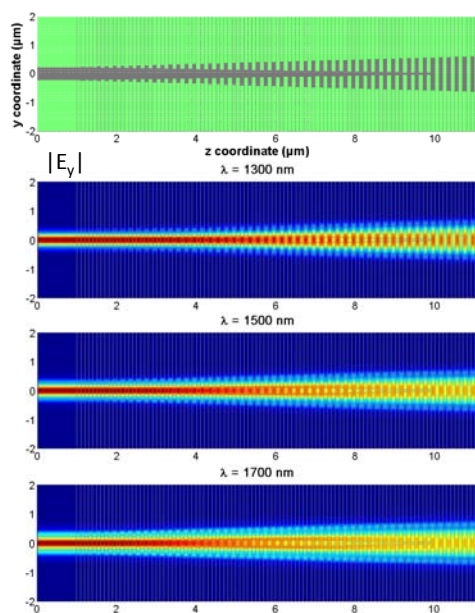
## IMAGING PROPERTIES OF THE SWG MMI SECTION

Excitation of the SWG MMI section with SWG "ports"  
by the superposition of symmetric and antisymmetric Bloch modes

MMI: 80 periods,  $\Lambda = 200$  nm



## PROPERTIES OF INPUT AND OUTPUT COUPLERS



Estimated SWG period  $\Lambda = 200$  nm

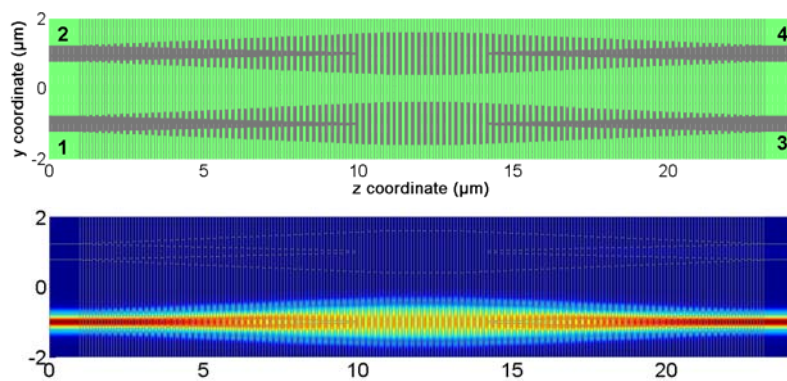
Conversion from photonic wire  
into Bloch mode of the SWG output:

Very high conversion efficiency  
difficult to reliably calculate  
(loss  $\leq 0.01$  dB),  
very small return loss –  
reflected power  $\leq -45$  dB  
for all wavelengths  
1.3  $\mu\text{m}$ , 1.5  $\mu\text{m}$ , and 1.7  $\mu\text{m}$ .

Shorter taper could probably  
work well, too.



## CHECK OF MUTUAL COUPLING IN THE TAPERS

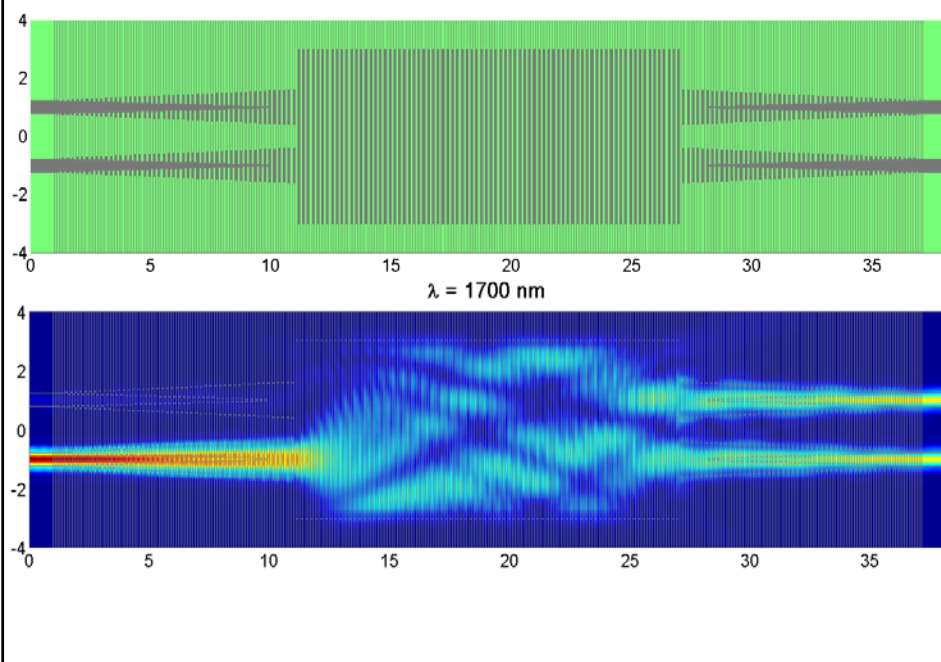


Calculated scattering parameters:

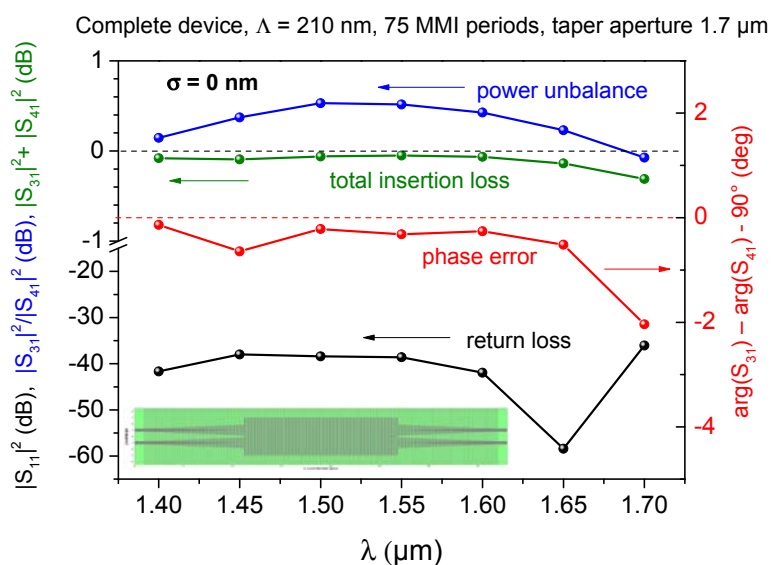
$\lambda$ (μm)	$ S_{11} ^2$	$ S_{31} ^2$	$ S_{41} ^2$	Loss
1.70	$2.304 \times 10^{-5}$	0.995	$4.963 \times 10^{-3}$	$-1.561 \times 10^{-5}$
1.50	$2.804 \times 10^{-5}$	0.993	$6.991 \times 10^{-3}$	$-2.611 \times 10^{-4}$
1.30	$4.149 \times 10^{-5}$	0.988	$1.260 \times 10^{-2}$	$-3.966 \times 10^{-4}$

Mutual coupling in tapers is unimportant

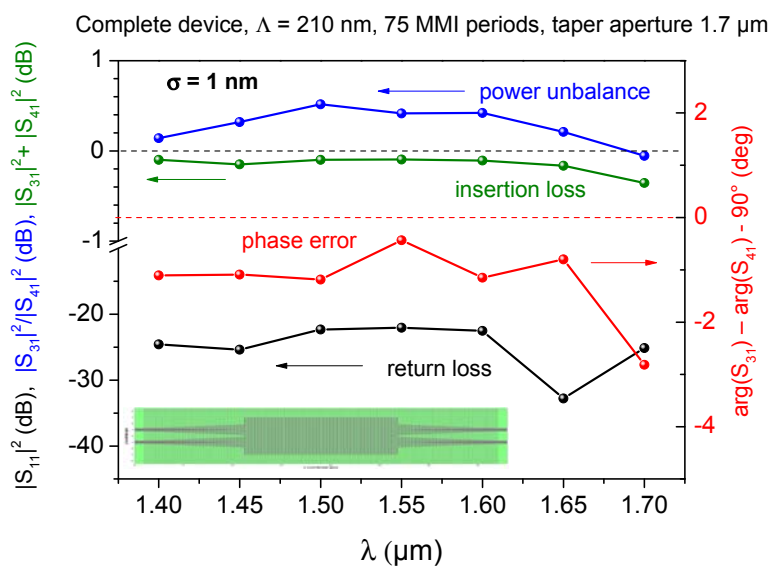
## FIELD DISTRIBUTION IN THE SWG MMI COUPLER



## S-PARAMETERS OF THE COMPLETE MMI DEVICE



## INFLUENCE OF RANDOM FLUCTUATIONS



## INFLUENCE OF RANDOM FLUCTUATIONS

Complete device,  $\Lambda = 210$  nm, 75 MMI periods, taper aperture  $1.7 \mu\text{m}$

